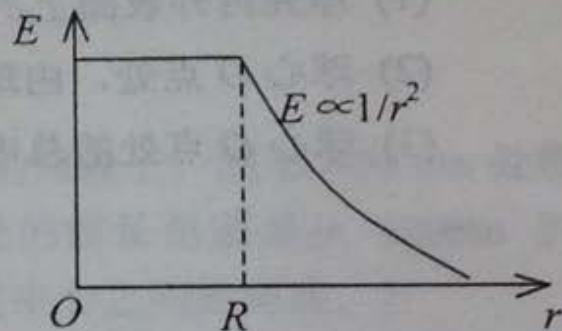


一. 选择题 (共 30 分)

1 (本题 3 分) 图示为一具有球对称性分布的静电场的  $E \sim r$  关系曲线. 请指出该静电场是由下列哪种带电体产生的.



- (A) 半径为  $R$  的均匀带电球面.
- (B) 半径为  $R$  的均匀带电球体.
- (C) 半径为  $R$ 、电荷体密度  $\rho = Ar$  ( $A$  为常量) 的非均匀带电球体.
- (D) 半径为  $R$ 、电荷体密度  $\rho = A/r$  ( $A$  为常量) 的非均匀带电球体.

$$\text{当 } r \leq R \text{ 时, } \phi_e = \oiint \vec{E} \cdot d\vec{S} = \int \frac{1}{\epsilon_0} dq, 4\pi r^2 E = \int_0^r \frac{1}{\epsilon_0} \rho(r) 4\pi r^2 dr \quad [D]$$

2 (本题 3 分) 充了电的平行板电容器两极板(看作很大的平板)间的静电作用力  $F$  与两极板间的电压  $U$  的关系是:

- (A)  $F \propto U$ .
- (B)  $F \propto 1/U$ .
- (C)  $F \propto 1/U^2$ .
- (D)  $F \propto U^2$ .

$$\vec{F} = \vec{E}q = \frac{\sigma}{2\epsilon_0} q = \frac{q^2}{2\epsilon_0 S} = \frac{C^2 U^2}{2\epsilon_0 S}$$

$$\vec{F} = \vec{E}q, \vec{E} \propto U, q \propto U; \vec{F} \propto U^2 \quad [D]$$

3 (本题 3 分) 均匀磁场的磁感强度  $\vec{B}$  垂直于半径为  $r$  的圆面. 今以该圆周为边线, 作一半球面  $S$ , 则通过  $S$  面的磁通量的大小为

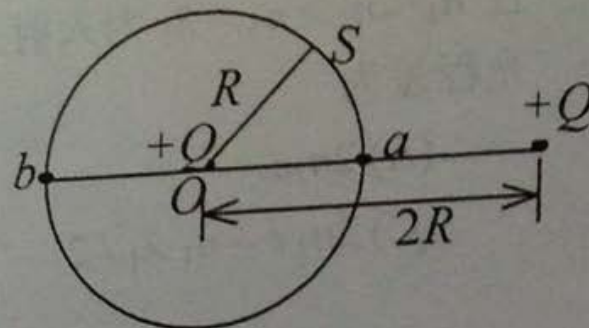
$$\phi_m = \int \vec{B} \cdot d\vec{S}$$

- (A)  $2\pi r^2 B$ .
- (B)  $\pi r^2 B$ .
- (C) 0.
- (D) 无法确定的量.

[B]

## 二、填空题（共 30 分）

11 (本题 5 分) 如图所示, 真空中两个正点电荷  $Q$ , 相距  $2R$ . 若以其中一点电荷所在处  $O$  点为中心, 以  $R$  为半径作高斯球



面  $S$ , 则通过该球面的电场强度通量 =  $Q/\epsilon_0$ ; 若

以  $\vec{r}_0$  表示高斯面外法线方向的单位矢量, 则高斯面上  $b$  点的

电场强度为  $\frac{5Q\vec{r}_0}{18\pi\epsilon_0 R^2}$ .

$$\phi_e = \oiint \vec{E} \cdot d\vec{S} = \int \frac{1}{\epsilon_0} dq = \frac{1}{\epsilon_0} \sum_{\text{内}} q_i$$

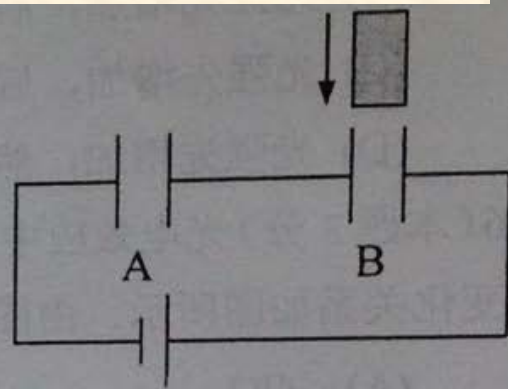
$$\vec{E}_b = \frac{1}{4\pi\epsilon_0} \left( \frac{Q}{R^2} + \frac{Q}{9R^2} \right) \vec{r}_0$$

12 (本题 5 分) 如图所示, 两个同样的平行板电容器 A 和 B, 串联后接在电源上, 然后把一块相对介电常数为  $\epsilon_r$  的均匀电介质

插入电容器 B 中, 则电容器 A 中的电场强度  $E_A$  **增大** (增大,

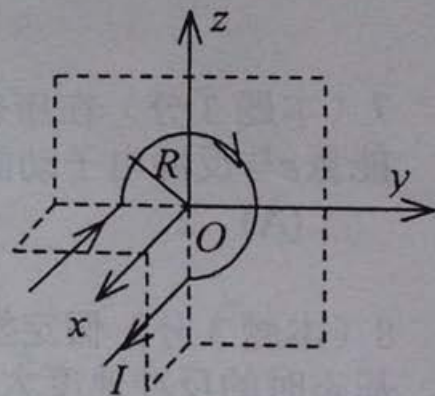
不变, 减小), 电容器 B 中的电场强度  $E_B$  **减小** (增大,

不变, 减小)。



$C_B$  增大, 总电容增大,  $q_A = q_B$  增大;  
 $U_A$  增大,  $E_A$  增大;  $U_B$  减小,  $E_B$  减小;

13 (本题 3 分) 载有电流  $I$  的导线由两根半无限长直导线和半径为  $R$  的、以  $xyz$  坐标系原点  $O$  为中心的  $3/4$  圆弧组成，圆弧在  $yOz$  平面内，两根半无限长直导线与  $x$  轴平行，电流流向如图所示。  $O$



点的磁感强度  $\vec{B} = -\frac{3}{4} \frac{\mu_0 I}{2R} \vec{i} - \frac{\mu_0 I}{4\pi R} \vec{j} - \frac{\mu_0 I}{4\pi R} \vec{k}$ .

(用坐标轴正方向单位矢量  $\vec{i}, \vec{j}, \vec{k}$  表示)

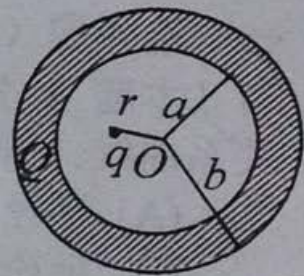
$$\vec{B}_x = -\frac{3}{4} \frac{\mu_0 I}{2R}; \vec{B}_y = -\frac{1}{2} \frac{\mu_0 I}{2\pi R}; \vec{B}_z = -\frac{1}{2} \frac{\mu_0 I}{2\pi R}$$



### 三、计算题 (共 40 分)

19 (本题 10 分) 如图所示, 一内半径为  $a$ 、外半径为  $b$  的金属球壳, 带有电荷  $Q$ , 在球壳空腔内距离球心  $r$  处有一点电荷  $q$ . 设无限远处为电势零点, 试求:

- (1) 球壳内外表面上的电荷.
- (2) 球心  $O$  点处, 由球壳内表面上电荷产生的电势.
- (3) 球心  $O$  点处的总电势.



(1) 内表面电荷为  $-q$ , 外表面电荷为  $Q+q$

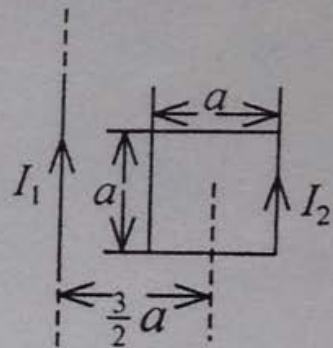
(2) 内表面电荷在  $O$  点产生的电势为

$$\frac{-q}{4\pi\epsilon_0 a}$$

(2)  $O$  点总电势为

$$\frac{1}{4\pi\epsilon_0} \left( \frac{q}{r} - \frac{q}{a} + \frac{Q+q}{b} \right)$$

20 (本题 10 分) 一通有电流  $I_1$  (方向如图) 的长直导线, 旁边有一个与它共面通有电流  $I_2$  (方向如图) 每边长为  $a$  的正方形线圈, 线圈的一对边和长直导线平行, 线圈的中心与长直导线间的距离为  $\frac{3}{2}a$  (如图), 在维持它们的电流不变和保证共面的条件下, 将它们的距离从  $\frac{3}{2}a$  变为  $\frac{5}{2}a$ , 求磁场对正方形线圈所做的功.



$$A = I_2 \Delta \Phi = I_2 (\Phi_2 - \Phi_1)$$

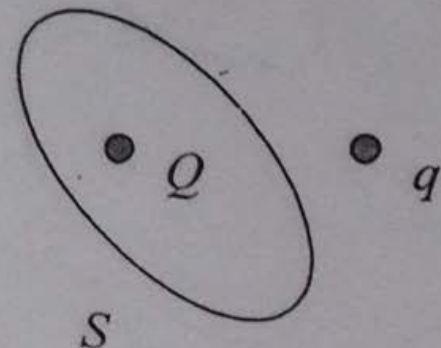
$$\Phi = \int B ds = - \int \frac{\mu_0 I_1}{2\pi x} a dx$$

$$\Phi_1 = - \int_a^{2a} \frac{\mu_0 I_1}{2\pi x} a dx = - \frac{\mu_0 I_1 a}{2\pi} \ln 2$$

$$\Phi_2 = - \int_{2a}^{3a} \frac{\mu_0 I_1}{2\pi x} a dx = - \frac{\mu_0 I_1 a}{2\pi} \ln \frac{3}{2}$$

$$A = I_2 \Delta \Phi = I_2 \frac{\mu_0 I_1 a}{2\pi} \left( \ln 2 - \ln \frac{3}{2} \right) = \frac{\mu_0 I_1 I_2 a}{2\pi} \ln \frac{4}{3}$$

3. 点电荷  $Q$  被曲面  $S$  所包围, 从无穷远处引入另一点电荷  $q$  至曲面外一点, 如图所示, 则引入前后



- (A) 通过曲面  $S$  的  $\Phi_e$  不变, 各点场强也不变;
- (B) 通过曲面  $S$  的  $\Phi_e$  变化, 而各点场强不变;
- (C) 通过曲面  $S$  的  $\Phi_e$  不变, 而各点场强变化;
- (D) 通过曲面  $S$  的  $\Phi_e$  变化, 各点场强也变化。

[ C ]

4. 有两个大小不相同的金属球, 大球直径是小球的两倍, 大球带电, 小球不带电, 两者相距很远. 今用细长导线将两者相连, 在忽略导线的影响下, 大球与小球的带电之比为:

- (A) 0.
- (B)  $1/2$ .
- (C) 1.
- (D) 2.

[ D ]

$$U_{\text{球}} = \frac{1}{4\pi\epsilon_0} \frac{Q}{R}$$

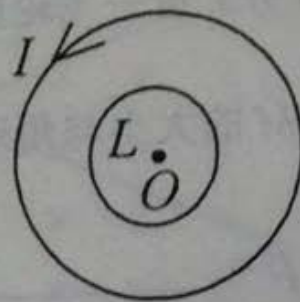
$$U_1 = U_2$$

$$Q \propto R$$



5. 在一圆形电流  $I$  所在的平面内, 选取一个同心圆形闭合回路  $L$ , 则由安培环路定理可知

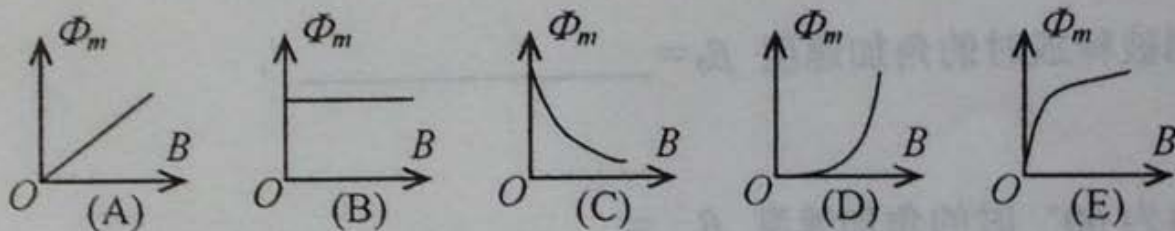
- (A)  $\oint_L \vec{B} \cdot d\vec{l} = 0$ , 且环路上任意一点  $B \neq 0$ .
- (B)  $\oint_L \vec{B} \cdot d\vec{l} = 0$ , 且环路上任意一点  $B = 0$ .
- (C)  $\oint_L \vec{B} \cdot d\vec{l} \neq 0$ , 且环路上任意一点  $B \neq 0$ .
- (D)  $\oint_L \vec{B} \cdot d\vec{l} \neq 0$ , 且环路上任意一点  $B = \text{常量}$ .



[ A ]

6. 一质量为  $m$ 、电荷为  $q$  的粒子, 以与均匀磁场  $\vec{B}$  垂直的速度  $v$  射入磁场内, 则粒子运动轨道所包围范围内的磁通量  $\Phi_m$  与磁场磁感强度  $\vec{B}$  大小的关系曲线是 (A)~(E) 中的哪一条?

$$qvB = mv^2 / R$$



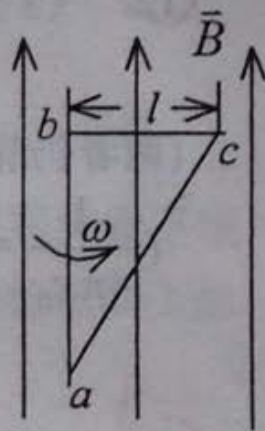
$$R = \frac{mv}{qB}$$

$$\Phi_m = B\pi R^2 = B\pi \left( \frac{mv}{qB} \right)^2 \propto \frac{1}{B}$$

[ C ]

7. 如图所示, 直角三角形金属框架  $abc$  放在均匀磁场中, 磁场  $\vec{B}$  平行于  $ab$  边,  $bc$  的长度为  $l$ . 当金属框架绕  $ab$  边以匀角速度  $\omega$  转动时,  $abc$  回路中的感应电动势  $\varepsilon$  和  $a$ 、 $c$  两点间的电势差  $U_a - U_c$  为

- (A)  $\varepsilon = 0, U_a - U_c = \frac{1}{2} B \omega l^2$ .      (B)  $\varepsilon = B \omega l^2, U_a - U_c = -\frac{1}{2} B \omega l^2$   
 (C)  $\varepsilon = B \omega l^2, U_a - U_c = \frac{1}{2} B \omega l^2$ .      (D)  $\varepsilon = 0, U_a - U_c = -\frac{1}{2} B \omega l^2$



[ D ]

$$\varepsilon_i = -\frac{d\Phi}{dt}$$

$$\varepsilon_{\text{运动}} = \int_a^b (\vec{v} \times \vec{B}) \cdot d\vec{l}$$

**$c$  为正极  
 $a$  与  $b$  均为负极**



12. (3 分) 一电子和一质子相距  $2 \times 10^{-10} \text{ m}$  (两者静止), 将此两粒子分开到无穷远距离

(两者仍静止) 所需要的最小能量是 7.2 eV.

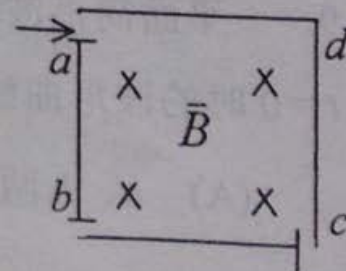
( $\frac{1}{4\pi\epsilon_0} = 9 \times 10^9 \text{ N} \cdot \text{m}^2/\text{C}^2$ , 质子电荷  $e = 1.60 \times 10^{-19} \text{ C}$ ,  $1 \text{ eV} = 1.60 \times 10^{-19} \text{ J}$ )

$$E = q\Delta U = \frac{1}{4\pi\epsilon_0} \frac{e^2}{r}$$

13. (5 分) 在一个不带电的导体球壳内, 先放进一电荷为  $+q$  的点电荷, 点电荷不与球壳内壁接触. 然后使该球壳与地接触一下后断开, 再将点电荷  $+q$  取走. 此时, 球壳的

电荷为  $-q$ , 电场分布的范围是 球壳之外至无穷远处.

14. (3分) 如图所示的空间区域内, 分布着方向垂直于纸面的匀强磁场, 在纸面内有一正方形边框  $abcd$  (磁场以边框为界). 而  $a$ 、 $b$ 、 $c$  三个角顶处开有很小的缺口. 今有一束具有不同速度的电子由  $a$  缺口沿  $ad$  方向射入磁场区域, 若  $b$ 、 $c$  两缺口处分别有电子射出, 则此两处出射电子的速率之比  $v_b/v_c = \underline{1/2}$ .



$$R = \frac{mv}{qB}$$

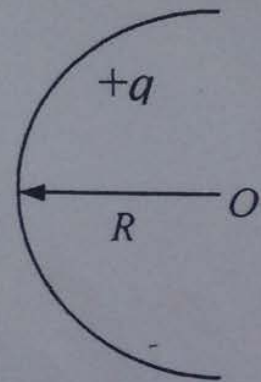
$$\frac{R_b}{R_c} = \frac{1}{2} = \frac{v_b}{v_c}$$

15. (3分) 在磁场中某点放一个很小的试验线圈. 若线圈的面积增大一倍, 且其中电流也增大一倍, 该线圈所受的最大磁力矩将是原来的 4 倍。

$$M = \vec{P}_m \times \vec{B}; \vec{P}_m = I\vec{S}$$



20. (10 分) 一绝缘细棒弯成半径为  $R$  的半圆形，其上均匀带电量  $+q$ ，如图所示。求圆心处的电场强度。

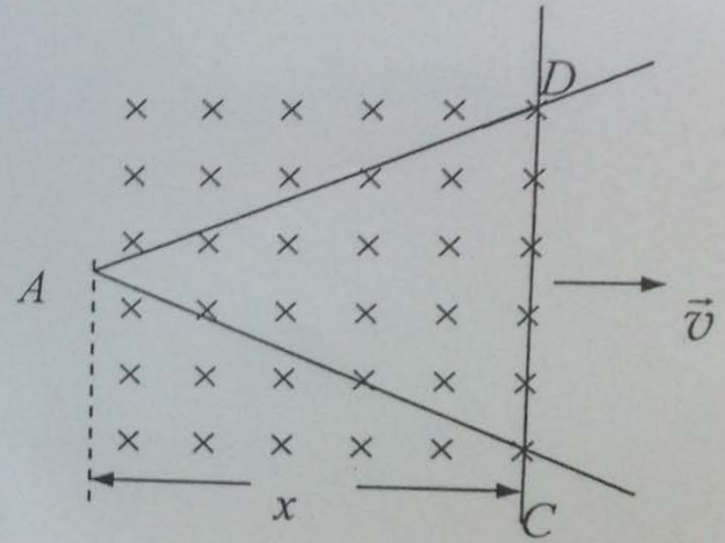


$$d\vec{E}_r = \frac{1}{4\pi\epsilon_0} \frac{\frac{q}{\pi R} R d\theta}{R^2} = \frac{q d\theta}{4\pi^2 \epsilon_0 R^2}$$

$$\vec{E} = E_x = \int_0^\pi d\vec{E}_x = \int_0^\pi d\vec{E}_r \sin \theta = \int_0^\pi \frac{q \sin \theta d\theta}{4\pi^2 \epsilon_0 R^2} = \frac{q}{2\pi^2 \epsilon_0 R^2}$$

# 作业题

21. (10 分) 将等边三角形平面回路  $ACDA$  放在磁感应强度为  $\vec{B} = \vec{B}_0 t$  (其中  $\vec{B}_0$  为常矢量) 的均匀磁场中, 回路平面垂直于磁场方向, 如图所示。回路的  $CD$  段为滑动导线, 以匀速  $\vec{v}$  远离  $A$  端运动, 且始终保持回路为等边三角形。设滑动导线  $CD$  到  $A$  端的垂直距离为  $x$ , 且初始  $x = 0$ 。试求回路  $ACDA$  中的感应电动势  $\varepsilon$  和时间  $t$  的关系。



**解:**

$$\begin{aligned}\Phi_m &= \int_S \vec{B} \cdot d\vec{S} = \int_S B_0 t dS \\ &= B_0 t \int_S dS = B_0 t S \\ &= B_0 t x^2 \tan 30^\circ = \frac{\sqrt{3}}{3} B_0 v^2 t^3 \\ \varepsilon &= -\frac{d\Phi_m}{dt} = -\sqrt{3} B_0 v^2 t^2\end{aligned}$$

